Доклады Академии наук СССР 1972. Том 204, № 4

УДК 66.023.2:542.65+54-481

ХИМИЧЕСКАЯ ТЕХНОЛОГИЯ

Член-корреспондент АН СССР Г. Г. ДЕВЯТЫХ, Ю. Е. ЕЛЛИЕВ, А. Н. ГУРЬЯНОВ

РАСПРЕДЕЛЕНИЕ ПРИМЕСИ ПО ВЫСОТЕ КОЛОННЫ ПРИ ГЛУБОКОЙ ОЧИСТКЕ ВЕЩЕСТВ МЕТОДОМ ПРОТИВОТОЧНОЙ КРИСТАЛЛИЗАЦИИ ИЗ РАСПЛАВА

Вопрос о распределении примеси по высоте разделительного аппарата применительно к противоточной кристаллизации из расплава, осуществляемой в аппаратах колонного типа, рассмотрен в ряде работ (1-7). Общим выводом из проведенных в этих работах теоретических исследований является то, что стационарное распределение примеси по высоте кристаллизационной колонны, как и в других многоступенчатых методах, должно иметь экспоненциальный характер. При этом предполагалось, что размер кристаллов не зависит от координаты вдоль колонны. Экспериментальной проверке этот вывод не подвергался, хотя в работе (8) было отмечено, что при очистке серы от битумов и мышьяка распределение примесей в верхней части колонны имеет экспоненциальный характер. Из данных работы (9) следует, что распределение примесей по высоте колонны при очистке стеарилового спирта экспоненциальному закону не подчиняется.

Цель настоящей работы состояла в экспериментальном исследовании распределения примеси по высоте кристаллизационной колонны. Опыты проводились на колонне типа Шилдкнехта (*) со смесью бензол — тиофен. Эта система образует непрерывный ряд твердых растворов (10) и весьма удобна в качестве модельной. Коэффициент распределения в области разбавленных растворов тиофена не зависит от концентрации и равен 0,42. Контроль процесса разделения осуществлялся с помощью газо-хроматографического знализа проб, отбираемых из различных точек по высоте колонны. Средний размер кристаллов на различных участках высоты колонны определялся фотографированием при помощи микроскопа «Мир-2», к тубусу которого был присоединен фотоаппарат «Зенит-ЗМ». Производилось также определение количества твердой фазы и скорости ее потока в колонне.

Полученные результаты графически представлены на рис. 1 и 2. Как можно видеть из рисунков, распределение примеси по высоте колонны существенно отличается от экспоненциального, а средний размер кристаллов увеличивается при их прохождении сверху вниз по колонне. Зависимость среднего линейного размера кристаллов от высоты колонны (рис. 1) хорошо описывается соотношением

$$\overline{w} = \overline{w}_0 + c\sqrt{z},\tag{1}$$

где \overline{w} — средняя полутолщина кристаллов в данном поперечном сечении колонны, \overline{w}_0 — средняя полутолщина кристаллов в зоне кристаллизации, z — координата вдоль высоты колонны, c — константа. Вводя обозначения z_{κ} — высота разделительной части колонны, \overline{w}_{κ} — средняя полутолщина кристаллов на входе в зону плавления и учитывая, что при $z=z_{\kappa}$ $\overline{w}=\overline{w}_{\kappa}$ из соотношения (1) получаем

$$\overline{w} = \overline{w}_0 + (\overline{w}_{\scriptscriptstyle K} - \overline{w}_0) \overline{\gamma \varphi}, \tag{2}$$

где $\varphi = z/z_{\kappa}$.

Как следует из (7), распределение примеси по высоте кристаллизационной колонны и фактор разделения в стационарном состоянии при постоян-

ном размере кристаллов должны описываться соотношениями

$$x = x_0 \left[a \exp \left(\frac{D_L \kappa z_R \beta_0^2}{L w^2} \varphi \right) \right]^{-1}; \tag{3}$$

$$F_0 = \left[a \exp\left(\frac{D_L \varkappa z_{\mathbf{K}} \beta_0^2}{L w^2}\right) \right]^{-1}, \tag{4}$$

где x — концентрация примеси в данном поперечном сечении колонны, x_0 — концентрация примеси в поступающей на питание смеси, D_L — коэффициент диффузии примеси в твердой фазе, κ , L — доля твердой фазы и скорость ее потока в колонне соответственно

$$a=1+\epsilon\left[1-rac{\pi^2\left(29-\epsilon\right)}{240}
ight];\quad eta_0^2=\epsilon\left[\left(rac{\pi^2}{4}-3
ight)\epsilon-3
ight],\quad \epsilon=\alpha-1,$$

a — коэффициент разделения (коэффициент распределения); $F_0 = x_{2k} / x_0$ — фактор разделения.

Из уравнений (3) и (4) вытекает, что при изменении размера кристаллов разделение, достигаемое на участках колонны одинаковой длины, будет

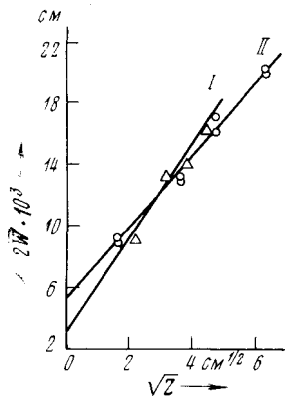


Рис. 1. Изменение среднего линейного размера кристаллов по высоте колонны. $I-x_0=4,2$ мол%; $\varkappa=80\%$, L=0,012 см⁻³·см²·сек, $z_{\rm K}=25$ см; $II-x_0=4,2$ мол.%, $\varkappa=75\%$, L=0,015 см⁻³·см²·сек, $z_{\rm K}=46$ см

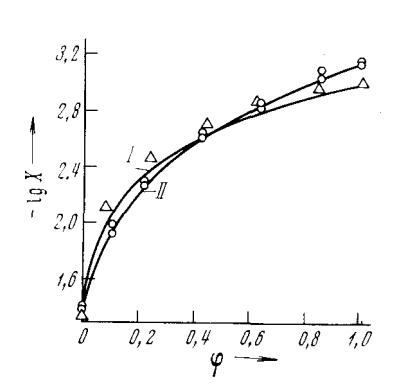


Рис. 2. Распределение примеси по высоте кристаллизационной колонны. Точки — экспериментальные значения, получены при тех же условиях, что и на рис. 1; кривые *I* и *II* — рассчитаны по уравнению (8)

различным, что и является причиной неэкспоненциального распределения примеси по высоте колонны. Проведем учет зависимости x и F_0 от размера кристаллов путем замены в уравнениях (3) и (4) величины w ее средними значениями

$$w_{\rm cp} = (\overline{w}_{\rm 0} + \overline{w})/2; \quad \overline{w}_{\rm cp} = (\overline{w}_{\rm 0} + \overline{w}_{\rm R})/2. \tag{5}$$

Тогда из соотношения (4) имеем:

$$D_{L} = -\frac{(\ln F_{0} + \ln a) L}{\kappa \beta_{0}^{2} z_{\kappa}} \overline{w_{\rm cp}^{2}}.$$
 (6)

Изменения количества твердой фазы по высоте колонны в процессе ее работы не наблюдалось и поток твердой фазы по высоте не изменялся. В соответствии с этим, после подстановки выражения (6) в (3), получаем

$$x = x_0 \{ a \exp \left[-(\ln F_0 + \ln a) \left(\overline{w}_{\rm cp} / w_{\rm cp} \right)^2 \varphi \right] \}^{-1}. \tag{7}$$

Из соотношений (7), (5) и (2) следует

$$\lg x = \lg \frac{x_0}{a} + (\lg F_0 + \lg a) \left[\left(1 + \frac{\bar{w}_0}{\bar{w}_w} \right) / \left[1 - \frac{\bar{w}_0}{w_w} \left(1 - \frac{2}{\sqrt{\bar{\varphi}}} \right) \right]^2.$$
 (5)

Уравнение (8) описывает распределение примеси по высоте колонны с

учетом изменения среднего размера кристаллов.

На рис. 2 проведено сравнение результатов расчетов по уравнению (8) с экспериментальными данными. Как можно видеть из рисунка, уравнение (8) удовлетворительно описывает характер распределения примеся по высоте кристаллизационной колонны.

Институт химии Академии наук СССР Горький

Поступило 10 I 1972

Горьковский государственный университет нм. Н. И. Лобачевского

ПИТИРОВАННАЯ ЛИТЕРАТУРА

¹ J. E. Powers, Simposium über Zonenschmelzen und Kolonnenkristallisiren, Karlsruhe, 1963, p. 347. ² R. A. Albertins, W. C. Gates, J. E. Powers, Fractional Solidification, 1, N. Y., 1967, p. 343. ³ И. А. Мержанов, А. Г. Аникин, Вести. Московск. унив., химия, № 2, 30 (1968). ⁴ G. J. Arkenbout, W. M. Smit, Separat. Sci., 3, № 6, 501 (1968). ⁵ М. R. Player, Ind. and Eng. Chem., 61, № 4, 148 (1969). Ргос. Design and Develop., 8, № 2, 240 (1969). ⁶ Г. Г. Девятых, ЖФХ, 41, 957 (1967). Г. Г. Девятых, В. А. Дозоров и др., Теор. основы хим. технол., 5, № 5, 663 (1971). ⁵ Г. Г. Девятых, М. Ф. Чурбанов, ЖПХ, 41, № 11, 2392 (1968). ⁵ Н. Schildknecht, H. Vetter, Angew. Chem., 73, 612 (1961). ¹⁰ В. М. Кравченко, ЖПХ, 23, № 3, 288 (1950).